

# 传输线技术

单模光纤译丛

(1)

电子工业部第二三研究所

一九八三年九月

## 目 录

双包层单模光纤中的信息传输.....	1-1 ~
单模光纤.....	2-1 ~
低双折射和高双折射光纤的发展.....	3-1 ~ 2
单模光纤光偏振状态的研究.....	4-1 ~
MCVD 工艺和特性的概况.....	5-1 ~ 4(
单模光纤接头损耗的精确预测.....	6-1 ~ 5
采用纤芯对中套筒的单模光纤连接器.....	7-1 ~ 16
单模光纤长距离传输现场试验中使用的光器件.....	8-1 ~ 31
可调单模光纤耦合器的分析.....	9-1 ~ 20
用偏振光时域反射测量法测量单模光纤的法拉第效应.....	10-1 ~ 5
1.3 $\mu\text{m}$ 波长 4 兆比／秒光接收机的灵敏度和单模光纤 长距离传输的特性.....	11-1 ~ 8
工作于三十公里单模光纤线路上的 1.5 $\mu\text{m}$ 外差式检测 系统.....	12-1
在单模光纤干涉计中采用聚偏氟乙烯 ( PVF <sub>2</sub> ) 压电薄 膜的电场传感器.....	13-1
为干涉计声传感器选择最佳的光纤被复层.....	14-1

## 双包层单模光纤中的信息传输

### 〔摘要〕

本文用两个参数（内包层与纤芯的直径比以及内包层与纤芯的折射率之差的比）给出了一种双包层单模光纤的一般传输特性和通用曲线。这种光纤内包层的折射率可以比外包层大，也可以比外包层小。文章检查了 LP01、LP11 和 LP02 的截止条件。已经证明：这种光纤的色散性能与单包层单模光纤大不相同，从而使我们有很大的可能实现 1.3 至 1.7  $\mu\text{m}$  之间任意波长上的低损耗无色散传输。

### 引言

本文是根据双包层光纤的计算结果撰写的。我们从实验中发现，LP11 模和 LP02 模的截止性能，并不总是符合单包层光纤弱导理论的预测值和从其它实验（折射率的近场分布和预成形试验）获得的数据之计算值。虽然过去曾发表过内包层折射率小的双包层光纤的理论结果〔1〕-〔3〕，但我们用实验的方法研究了低折射率及高折射率的内包层光纤。然后，我们想把该理论推广到各种双包层光纤中去。我们在计算中取得了某些成果，这使我们更加关心这种结构的色散性能。Kawakami 和 Nishida〔1〕已经报道了 W 型光纤异常色散的某些特点，特别是理论上的 1  $\mu\text{m}$  波长无色散的可能性，但这种光纤规格在实际上很难得到。不过，我们在这里证实，W 型光纤的另一部分色散曲线可使我们在掺杂程度很低的情况下，实现无色散传输，而这一点与单包层光纤需要高掺杂正好相反。现已证明，为了减少损耗，必须特别注意使光纤设计所需的掺锗量降至最小值〔4〕。这就使我们提出了一种新型的低损耗光纤结构，它在 1.3 至 1.7  $\mu\text{m}$  之间的任一波长上总色散均为零。

本文的目的在于研究双包层光纤中内包层对基模传输性能——截

止特性、色散特性、归一化传输参数的影响。我们求出了麦克斯韦方程的数值解，求解时不必去设法找出获得这些精确解的解析公式。不过，我们尽量给出某些特解的物理意义，尤其是与单包层光纤情况不同时的物理意义。

本文的第二节介绍下述问题的数学表示法：电磁场的解、色散方程及其解。

第三节介绍在某些实际情况下 LP<sub>01</sub>、LP<sub>11</sub> 和 LP<sub>02</sub> 模截止条件的研究结果。我们证实，当内包层折射率下凹时用很简单的通用公式就能表示 LP<sub>01</sub> 模非零截止的条件。

给出各种双包层光纤归一化传输参数  $B$  的通用曲线在第四节中介绍。从这些数据推导出该光纤 LP<sub>01</sub> 模的模式色散特性，评价了在 1.3 至 1.7  $\mu\text{m}$  范围内获得低损耗无色散光纤的可能性。

我们研究了图 1 所示的结构：弱导光纤芯径为  $2a$ ，芯线的折射率为  $n_1$ 。内包层的半径为  $b$ ，折射率为  $n_2$ 。周围媒质（外包层）的折射率为  $n$ 。

## II. 数 值 解

我们设（见图 1）：

$$\Delta n = n_1 - n_2$$

$$\Delta n' = n_2 - n$$

$$V = V_1 = k_0 a (n_1^2 - n^2)^{\frac{1}{2}} \\ = k_0 a [2n(\Delta n + \Delta n')]^{\frac{1}{2}}$$

$$V_2 = k_0 b (|n_2^2 - n^2|)^{\frac{1}{2}} \\ = k_0 b (2n|\Delta n'|)^{\frac{1}{2}}$$

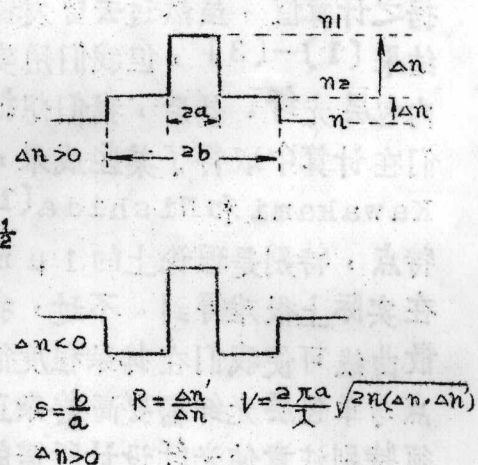
式中  $k_0$  为真空波数。

我们还要引用两个主要参数：

$R = \Delta n'/\Delta n$  和  $S = b/a$ 。我们将进一

步发现，传输性能仅与  $R$ 、 $S$  及  $V$  有关。

应该指出，数学表示的导波方式取  $R >$



$$S = \frac{b}{a} \quad R = \frac{\Delta n'}{\Delta n} \quad V = \frac{2\pi a}{\lambda} \sqrt{2n(\Delta n \cdot \Delta n')}$$

图 1 双包层弱导光纤沿横截面直径方向上的折射率之变化

-1 (传播常数  $\beta > k_0 n$ )。本文中我们只取  $\Delta n > 0$ ;  $\Delta n < 0$  意味着内包层的折射率有凹陷，而这是与实际光纤不相符的。因此，这倒不如说是描述纤芯折射率凹陷的单模光纤的，内包层 ( $\Delta n' > 0$ ) 变成了纤芯。

### A 本征场

若  $\beta$  为模式传输常数，则我们定义归一化传输常数  $B$  为：

$$B = \frac{\beta^2 - k_0^2 n^2}{k_0^2 (n_1^2 - n^2)} = \frac{\beta - k_0 n}{k_0 (\Delta n + \Delta n')} \quad (\text{弱导场合})$$

我们的目的是完成各种  $R$  ( $= \Delta n' / \Delta n$ ) 和  $S$  ( $= b / a$ ) 值下的  $B$  ( $V$ ) 和模式色散参数  $d$  ( $V B$ ) /  $d V$  和  $V$  ( $d^2 (VB) / dV^2$ )。我们定义模式参数如下：

$$u = a (\kappa_0^2 n_1^2 - \beta^2)^{\frac{1}{2}}$$

$$u' = b (\kappa_0^2 n_2^2 - \beta^2)^{\frac{1}{2}}$$

$$v' = b (\beta^2 - \kappa_0^2 n_2^2)^{\frac{1}{2}}$$

$$v = b (\beta^2 - \kappa_0^2 n_1^2)^{\frac{1}{2}}$$

若设方位角变化的阶数为  $m$ ，则轴向场分量的径向表达式  $\psi(r)$  为(5)：

$$\psi = A_0 J_m(u \frac{r}{a}) \quad \dots \dots \dots \text{当 } r \leq a \text{ 时}$$

$$\psi = A_1 J_m(u' \frac{r}{b}) + A_2 Y_m(v' \frac{r}{b}) \quad \dots \dots \dots \text{当 } a \leq r \leq b \text{ 时}$$

(设  $\beta < \kappa_0 n_a$ )

$$\psi = A_3 K_m(v \frac{r}{b}) \quad \dots \dots \dots \text{当 } r \geq b \quad (1)$$

以及：

$$\psi = A_0' J_m(u \frac{r}{a}) \quad \dots \dots \dots \text{当 } r \leq a$$

$$\psi = A_1' J_m(u \frac{r}{b}) + A_2' K_m(v \frac{r}{b}) \dots \dots \dots \text{当 } a \leq r \leq b \\ (\text{设 } \beta > k_0 n_a)$$

$$\psi = A_3' I_m(u \frac{r}{b}) \dots \dots \dots \text{当 } r \geq b \quad (2)$$

式中  $J_m$ 、 $\hat{Y}_m$ 、 $I_m$  和  $K_m$  为普通贝塞尔函数和修正贝塞尔函数。  $A_0$  和  $A_0'$  为归一化系数。 $A_1$ 、 $A_2$ 、 $A_3$  及  $A_1'$ 、 $A_2'$ 、 $A_3'$  的解析公式列于附录 I 中。各个场分量通常从  $\psi$  推导出来 [5]。

### B 色散方程

使纤芯与内包层及内外包层之间的界面上  $\psi$  及  $\delta \psi / \delta r$  相连续就可求出色散方程。在弱导光纤范围内（相对折射率差均  $<< 1$ ），这一连续性是与横向场分量的连续性等效的 [6]。这就得出了一个  $(4 \times 4)$  矩阵，其行列式必须等于零，以保证非平凡解。

当  $\beta < k_0 n_a$  时，我们有：

$$\begin{aligned} & \frac{[J_m(u) - \hat{Y}_m(u'c)][K_m(v) - \hat{J}_m(v')]}{[J_m(u) - \hat{J}_m(u'c)][K_m(v) - \hat{Y}_m(v')]} \\ & = \frac{J_{m+1}(u'c)Y_{m+1}(u')}{J_{m+1}(u')Y_{m+1}(u'c)} \end{aligned} \quad (3)$$

当  $\beta > k_0 n_a$  时，我们有：

$$\begin{aligned} & \frac{[J_m(u) - \hat{K}_m(v'c)][\hat{K}_m(v) + \hat{I}_m(v')]}{[J_m(u) + \hat{I}_m(v'c)][\hat{K}_m(v) - \hat{K}_m(v')]} \\ & = \frac{I_{m+1}(v'c)K_{m+1}(v')}{I_{m+1}(v')K_{m+1}(v'c)} \end{aligned} \quad (4)$$

式中

$$\hat{Z}_m(x) = \frac{Z_m(x)}{x Z_{m+1}(x)} \quad (5)$$

$$(Z \text{ 代表贝塞尔函数 } J, Y, I \text{ 或 } K), c = \frac{a}{b} = \frac{1}{s}$$

### III. 截止频率特性

#### A 截止频率方程

在截止频率时， $\beta = k_0 n$ ，径向传输常数取下述数值：

$$u = v \quad \text{当 } r < a$$

$$u' = v_2 (\Delta n' > 0), \quad u' = v_1 (\Delta n' < 0) \quad \text{当 } a < r < b$$

$$\quad \quad \quad \text{当 } r > b$$

$$u = 0 \quad (6)$$

接近截止频率时，径向传输常数  $u$  降至零。通过计算  $u \rightarrow 0$  时色散方程的极限形式，我们可找出频率截止的条件。我们采用小自变量的  $K_m(u)$  极限形式<sup>(7)</sup>

$$\text{当 } u \rightarrow 0, K_0(u) \sim -\ell n(u)$$

$$K_m(u) \sim \frac{2^{m-1} \Gamma(m)}{v^m} \quad (7)$$

1) 当  $\Delta n' > 0$  时， $LP_{01}$  模总是可传输的。 $\hat{K}_m(u)$  与  $1 / 2^m$  ( $m \geq 1$ ) 等效，(3)式分子中包含  $\hat{K}_m(u)$  的括号内项变成  $-J_{m-1}(v_2) / 2^m J_{m+1}(v_2)$ ，分母中的对应项变为  $-Y_{m-1}(v_2) / 2^m Y_{m+1}(v_2)$ 。从而我们就可得到高次模 ( $m \geq 1$ ) 的截止条件：

$$\frac{\hat{J}_m(v) - \hat{Y}_m(v_2 C)}{J_m(v) - \hat{J}_m(v_2 C)} = \frac{J_{m+1}(v_2 C) Y_{m-1}(v_2)}{Y_{m+1}(v_2 C) J_{m-1}(v_2)} \quad (8)$$

2) 当  $\Delta n' < 0$  时， $LP_{01}$  模会漏泄掉。 $K_0(u)$  就与  $-\ell n(u)$  等效，包含  $\hat{K}_m(m)$  的项将消失。

当  $m \geq 1$ ，它们的分子变为  $I_{m-1}(V_2) / 2^m I_{m+1}(V_2)$ ，分母变为  $K_{m-1}(V_2) / 2^m K_{m+1}(V_2)$ 。最后，考虑到形式恒等式

$$I_{-1}(x) = I_1(x) \text{ 和 } K_{-1}(x) = K_1(x)$$

则可在  $\Delta n' < 0$  和其它各种情况 ( $m = 0$  和  $m \geq 1$ ) 下得到：

$$\frac{\hat{J}_m(V) - \hat{K}_m(V_2 c)}{\hat{J}_m(V) + \hat{K}_m(V_2 c)} = \frac{I_{m+1}(V_2 c) K_{m-1}(V_2)}{K_{m+1}(V_2 c) I_{m-1}(V_2)} \quad (9)$$

## B 截止频率曲线

方程(8)和(9)包含  $V$ 、 $V_2$  及  $V_2 c$ ，因为  $c = \frac{1}{s}$ ,  $V_2 = V S (|R| / (1 + R))^{1/2}$ ，所以它们之间的关系可以表达成：

$$V = k_0 a \sqrt{2n(\Delta n + \Delta n')} , R = \Delta n' / \Delta n , S = b / a .$$

若方位角变化的阶数为  $m$ ，归一化截止频率为  $V_{cm}$ ，则可推导出关系式  $f_m(V_{cm}, R, S) = 0$

1) LP01 模：正如 Kawakami 和 Nishida [1] 及 Summert [3] 已经指出的那样，只要  $\Delta n' < 0$ ，基模就不一定会出现非零截止。为了使场分布得到改善，折射率的凹口必须足够宽 ( $\frac{b}{a} > 1$  或  $|\Delta n'| \approx \Delta n$ )。图 2 画出了 LP01 模导行区与泄漏区之间的界限，图中坐标分别为  $b/a$  和  $\Delta n'/\Delta n$ 。该曲线是根据(9)式算出的精确数值解。

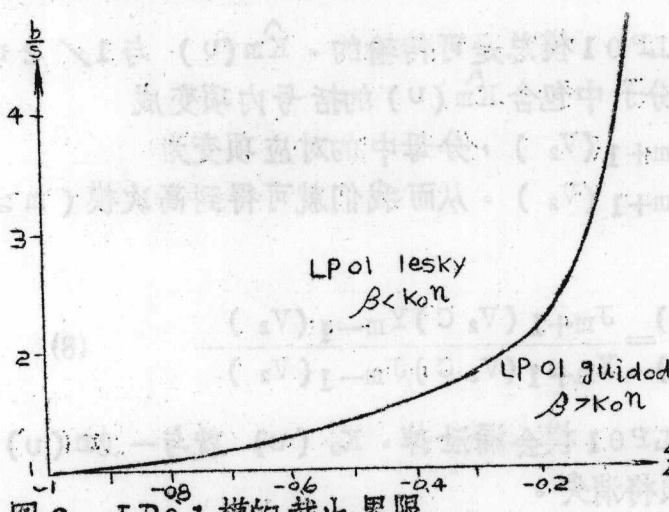


图 2 LP01 模的截止界限

然而，有可能用一种简单的方法找到该曲线的方程。Kawakami 和 Nishida [1] 谈起过这种波在实际上所遇的平均折射率。用稳态公式可使我们定量地表示这一概念，并能有效地导出精确的方程，但我们在那里不这样做，而是作一直接的证明。

我们来看一看在 LP01 模截止导致  $V = 0$  的条件。从(9)式出发，取  $V \rightarrow 0$  的极限值，我们有：

$\hat{J}_0(V) \sim 2V^{-2}$ ,  $\hat{K}_0(V_2 c) \sim -\ln(V_2 c)$ ,  $\hat{I}_0(V_2 c) \sim 2(V_2 c)^{-2}$  右边的项等于  $c^2$ ，于是可得到：

$$c^2 + \left(\frac{V}{V_2}\right)^2 = 1, \text{ 或 } \frac{b}{a} = \left(\frac{|\Delta n'|}{\Delta n}\right)^{-\frac{1}{2}} \quad (10)$$

这就是图 2 曲线的方程。事实上，这是 LP01 模不截止的条件。但是，如果  $V$  值不是零，就得不到  $V$  的截止值。

我们必须很好地理解这里所说的是数学上的截止频率，其定义为  $\beta = k_0 n$ 。显然，只要  $b/a$  足够大（衰减非常小），则不管  $\Delta n'$  是多少，LP01 模在物理意义上讲总是可以传输的[2]。

2) LP01、LP11 和 LP02 模：在图 3 和图 4 上可以看到传输基模的截止特性。图 3 表示截止时的归一化频率  $V$  的数值  $V_c$ （在  $b/a$  有两种数值时）与  $|\Delta n'|/\Delta n$  的函数关系。奇怪的是，如果  $b/a$  足够大，则在  $|\Delta n'|/\Delta n$  为正值的某一范围内 LP02 模能够传输，而 LP11 模仍旧泄漏，这一点看来是不难理解的，因为 LP02 模利用了

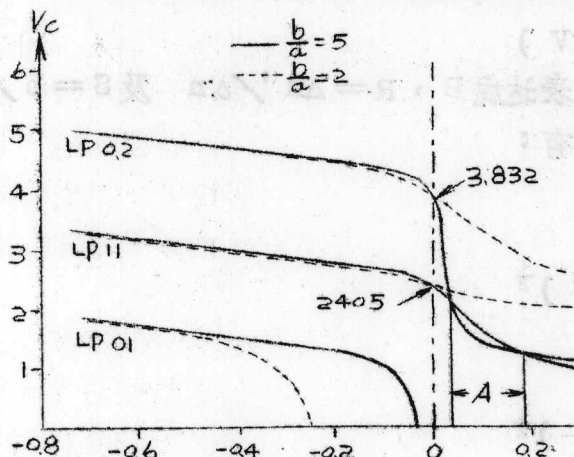


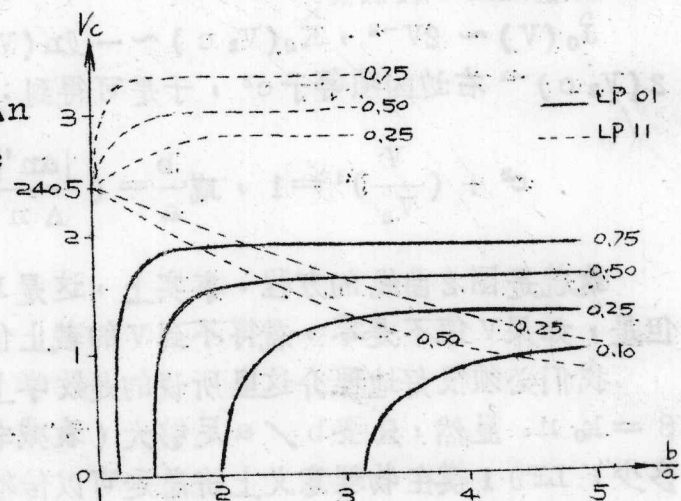
图 3 当  $b/a = 2$  及  $b/a = 5$  时，截止的归一化频率  $V_c$

指出：当  $b/a = 5$  时，在区域 A 内，LP02 模可以传输，而 LP11 模泄漏。

纤芯的折射率差（当  $r = 0$  时场强最大），而 LP11 模主要受内包层折射率的影响（略高于截止频率时，场的振荡部分扩展到  $r = b$ ）。

图4表示LP01模和LP11模在各种 $\Delta n' / \Delta n$ 值下 $V_c$ 与 $b/a$ 的关系。

图4 在各种 $\Delta n' / \Delta n$ 值下归一化截止频率 $V_c$ 与 $b/a$ 的关系



#### IV 归一化传输参数和色散参数

##### A、归一化传输常数 B (V)

可以把 $u$ 、 $u'$ 、 $u$ 、 $u'$ 表达成 $B$ 、 $R = \Delta n' / \Delta n$  及 $S = b/a$ 的函数。根据 II-A，我们有：

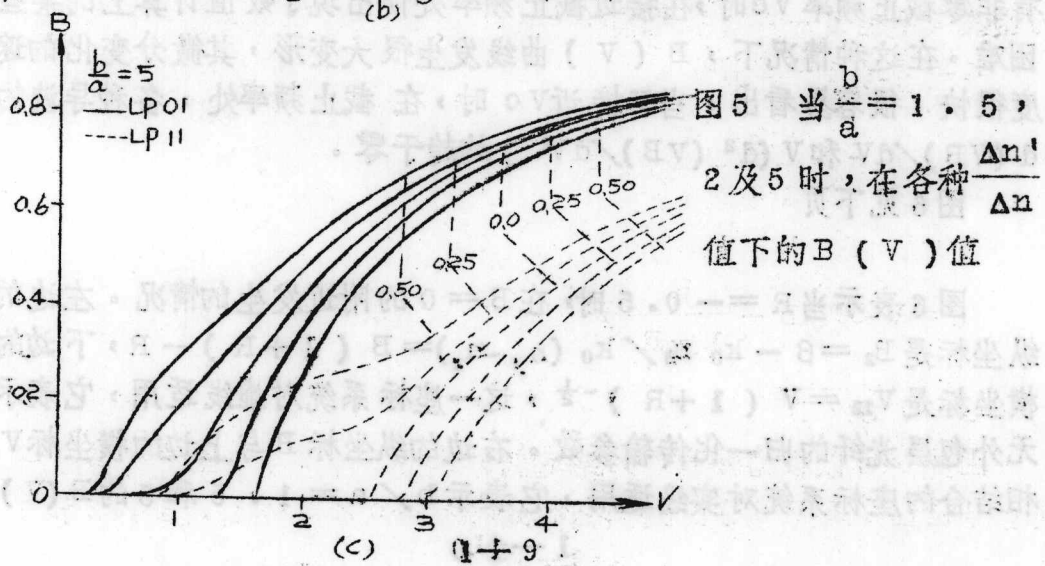
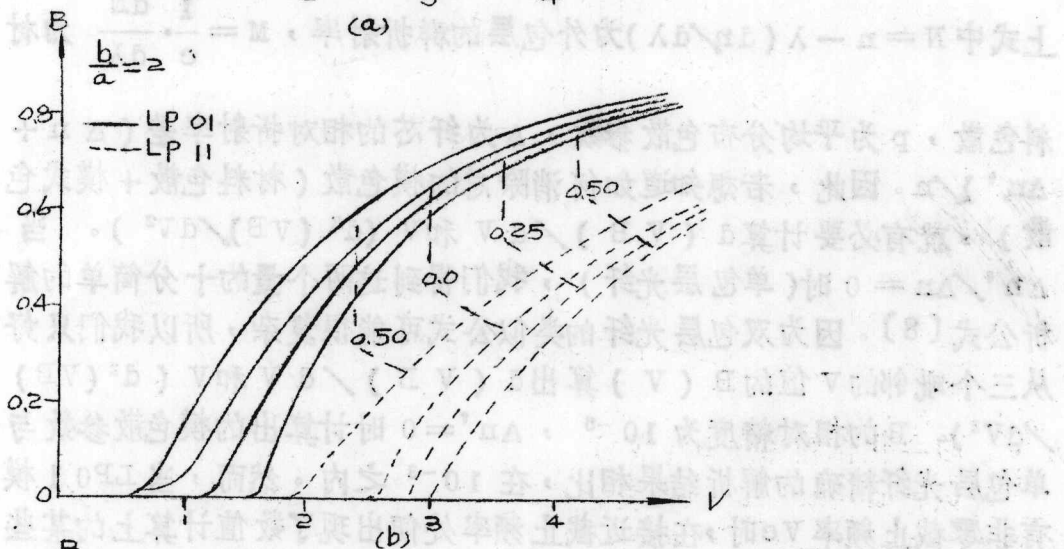
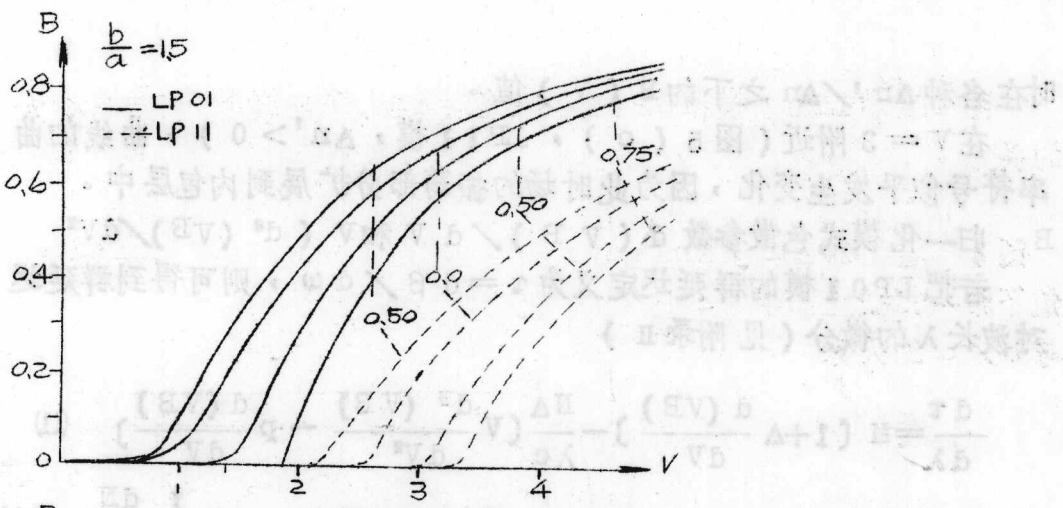
$$u = V_s (1 - B)^{\frac{1}{2}}$$

$$u' = V_s S \left( \frac{R}{1 + R} - B \right)^{\frac{1}{2}}$$

$$u' = V_s S \left( B - \frac{R}{1 + R} \right)^{\frac{1}{2}}$$

$$u = V_s \sqrt{B}$$

因此，可以根据 $R$ 和 $S$ 的给定值计算出 $B(V)$ 。图5(a)-(c)画出了 $B(V)$ 曲线，它们分别表示 $b/a = 1, 5, 2$ 和5



时在各种  $\Delta n' / \Delta n$  之下的  $B(V)$  值。

在  $V = 3$  附近(图 5(c)，LP11 模， $\Delta n' > 0$ )，曲线的曲率符号似乎发生变化，因为此时场的振荡部分扩展到内包层中。

$B$  归一化模式色散参数  $d(VB)/dV$  和  $V(d^2(VB)/dV^2)$

若把 LP01 模的群延迟定义为  $\tau = d\beta / d\omega$ ，则可得到群延迟对波长  $\lambda$  的微分(见附录 II)

$$\frac{d\tau}{d\lambda} = M \left( 1 + \Delta \frac{d(VB)}{dV} \right) - \frac{N\Delta}{\lambda c} \left( V \frac{d^2(VB)}{dV^2} - p \frac{d(VB)}{dV} \right) \quad (11)$$

上式中  $N = n - \lambda (dn/d\lambda)$  为外包层的群折射率， $M = \frac{1}{c} \cdot \frac{dN}{d\lambda}$  为材料色散， $p$  为平均分布色散参数， $\Delta$  为纤芯的相对折射率差 ( $\Delta n + \Delta n'$ ) /  $n$ 。因此，若想知道如何消除总的模色散(材料色散+模式色散)，就有必要计算  $d(VB)/dV$  和  $V(d^2(VB)/dV^2)$ 。当  $\Delta n' / \Delta n = 0$  时(单包层光纤)，我们得到这两个量的十分简单的解析公式(8)。因为双包层光纤的类似公式可能很复杂，所以我们只好从三个毗邻的  $V$  值的  $B(V)$  算出  $d(VB)/dV$  和  $V(d^2(VB)/dV^2)$ 。 $B$  的相对精度为  $10^{-6}$ ， $\Delta n' = 0$  时计算出的模色散参数与单包层光纤精确的解析结果相比，在  $10^{-3}$  之内。然而，当 LP01 模有非零截止频率  $V_c$  时，在接近截止频率处便出现了数值计算上的某些困难。在这种情况下， $B(V)$  曲线发生很大变形，其微分变化的速度很快。很容易看出，当  $V$  接近  $V_c$  时，在 截止频率处，各种导波的  $d(VB)/dV$  和  $V(d^2(VB)/dV^2)$  均趋于零。

图 6 见下页

图 6 表示当  $R = -0.5$  时，在  $B = 0$  的附近发生的情况。左边的纵坐标是  $B_2 = \beta - k_0 n_2 / k_0 (n_1 - n_2) = B(1 + R) - R$ ，下边的横坐标是  $V_{12} = V(1 + R)^{-\frac{1}{2}}$ ，这一坐标系统对虚线适用，它表示无外包层光纤的归一化传输参数。右边的纵坐标  $B$  与上边的横坐标  $V$  相结合的坐标系统对实线适用，它表示  $b/a = 1.5$  和 5 的  $B(V)$

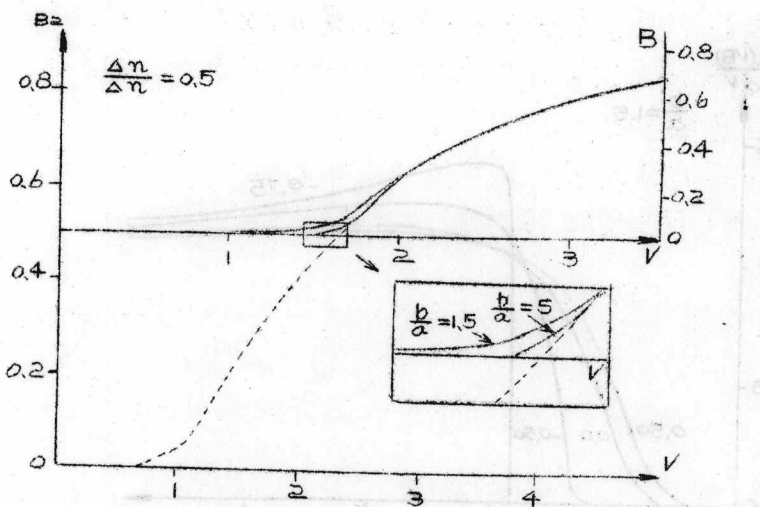
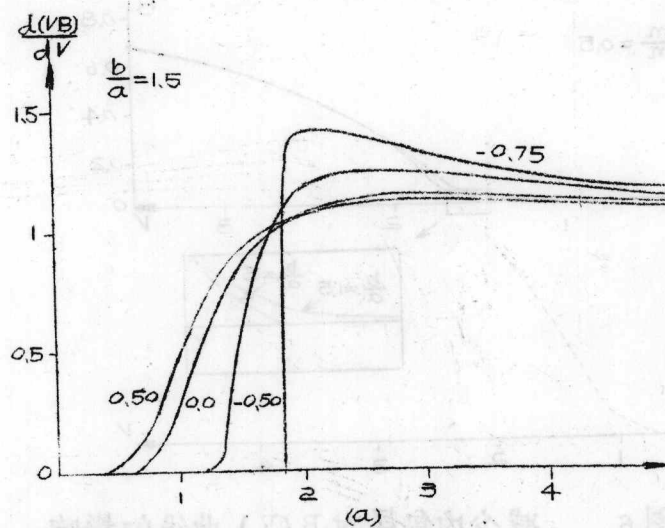


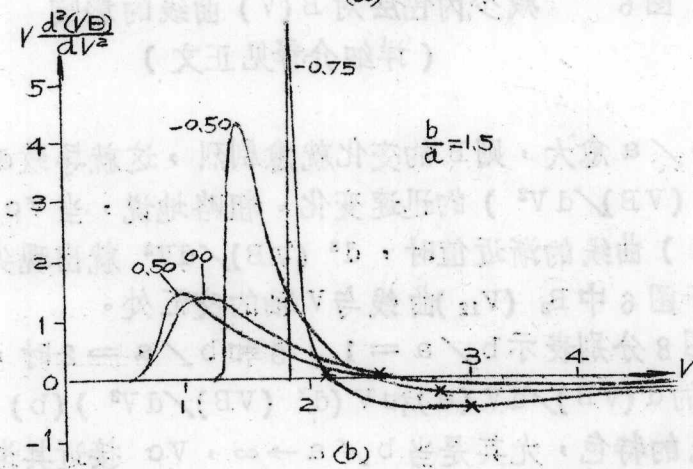
图 6 减少内包层对  $B(V)$  曲线的影响  
(详细介绍见正文)

值。显然， $b/a$  愈大，则  $B$  的变化就愈剧烈，这就导致  $d(VB)/dV$  及  $V(d^2(VB)/dV^2)$  的迅速变化。粗略地说，当  $V_c$  趋近图 4 中  $V_c(b/a)$  曲线的渐近值时， $d^2(VB)/dV^2$  就出现尖峰。这一极限值相当于图 6 中  $B_2(V_{12})$  曲线与  $V$  轴的交汇处。

图 7 和图 8 分别表示  $b/a = 1.5$  和  $b/a = 2$  时，在各种  $\Delta n'/\Delta n$  时的  $d(VB)/dV$  (a) 和  $V(d^2(VB)/dV^2)$  (b)。人们可以看出上述曲线的特色，尤其是当  $b/a \rightarrow \infty$ ， $V_c$  接近其渐近值时， $d^2(VB)/dV^2$  的数值就很大。



(a)



(b)

图 7 当  $b/a = 1.5$  时，在各种  $\Delta n'$  /  $\Delta n$  情况下的色散参数  $d(VB)/dV$   
 (a) 和  $V(d^2(VB)/dV^2)$  (b)  
 + 字符表示单模工作状态的极限

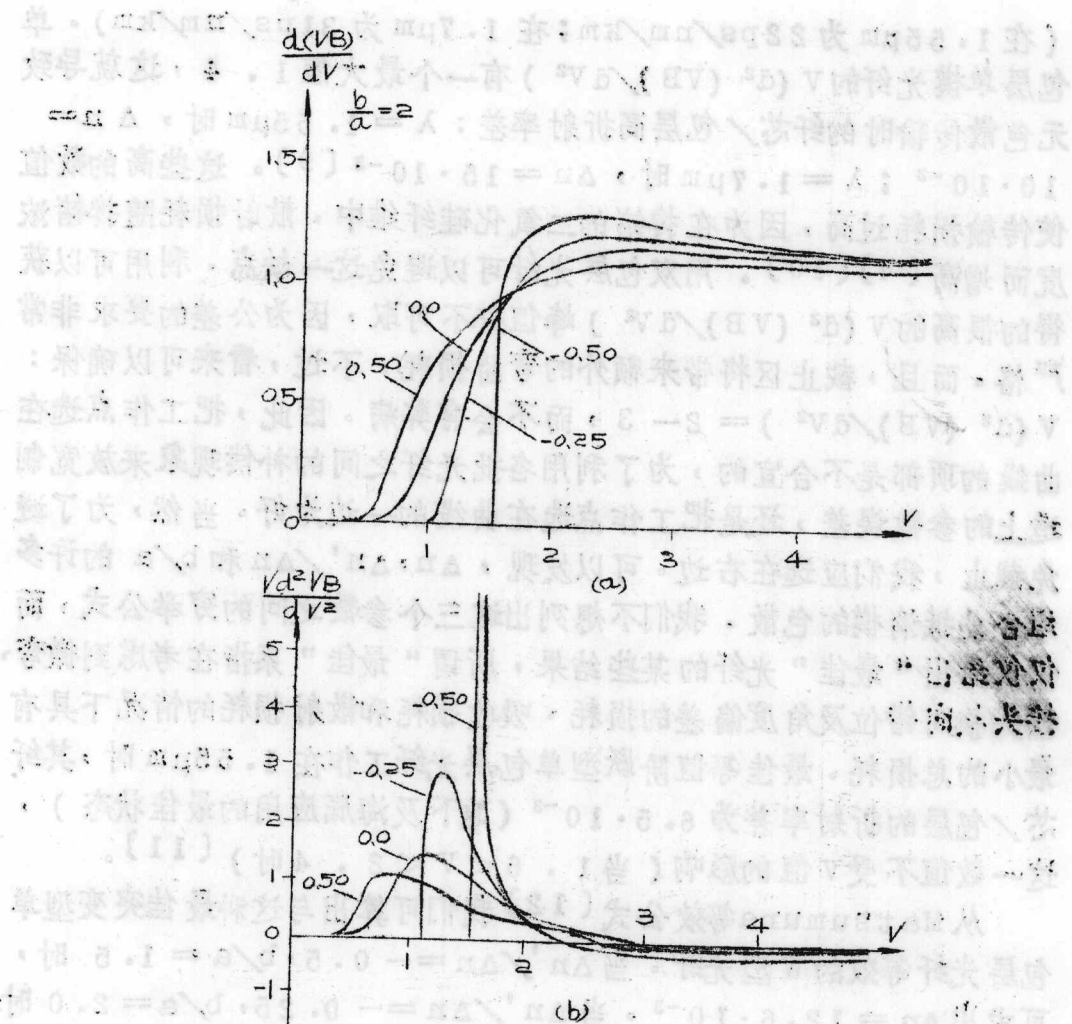


图 8 当  $b/a = 2$  时，在各种  $\Delta n'/\Delta n$  的情况下色散参数  $d(VB)/dV$  (a) 和  $V(d^2(VB)/dV^2)$  (b)，十字符号表示单模工作状态的极限

### C 总的模色散为零

为了在  $1.3$  至  $1.7 \mu m$  之间的波长上获得零总色散，必须用负得很多的模式色散来抵消二氧化硅的正得很多的材料色散系数  $M$

(在  $1.55\mu\text{m}$  为  $22\text{ps/nm/km}$ ; 在  $1.7\mu\text{m}$  为  $31\text{ps/nm/km}$ )。单包层单模光纤的  $V(d^2(\text{VB})/dV^2)$  有一个最大值  $1.4$ , 这就导致无色散传输时的纤芯/包层高折射率差:  $\lambda = 1.55\mu\text{m}$  时,  $\Delta n = 10 \cdot 10^{-3}$ ;  $\lambda = 1.7\mu\text{m}$  时,  $\Delta n = 15 \cdot 10^{-3}$  [9]。这些高的数值使传输损耗过高, 因为在掺锗的二氧化硅纤维中, 散射损耗随掺锗浓度而增高 [4] [10]。用双包层光纤可以避免这一缺点。利用可以获得的很高的  $V(d^2(\text{VB})/dV^2)$  峰值并不可取, 因为公差的要求非常严格。而且, 截止区将带来额外的弯曲损耗。不过, 看来可以确保:  $V(d^2(\text{VB})/dV^2) = 2 - 3$ , 而不会有弊病。因此, 把工作点选在曲线的顶部是不合宜的, 为了利用各批光纤之间的补偿现象来放宽制造上的参数误差, 还是把工作点选在曲线的一边为好。当然, 为了避免截止, 我们应选在右边。可以发现,  $\Delta n, \Delta n'/\Delta n$  和  $b/a$  的许多组合能抵消模的色散。我们不想列出这三个参数之间的穷举公式, 而仅仅给出“最佳”光纤的某些结果, 所谓“最佳”系指在考虑到微弯、接头横向错位及角度偏差的损耗、吸收损耗和散射损耗的情况下具有最小的总损耗。最佳等值阶跃型单包层光纤工作在  $1.55\mu\text{m}$  时, 其纤芯/包层的折射率差为  $6.5 \cdot 10^{-3}$  (地下及海底应用的最佳状态), 这一数值不受  $V$  值的影响 (当  $1.6 < V < 2.4$  时) [11]。

从 Matsumura 等效公式 [12] 我们可算出与这种最佳突变型单包层光纤等效的 W 型光纤。当  $\Delta n'/\Delta n = -0.5$ ,  $b/a = 1.5$  时, 可求出  $\Delta n = 12.6 \cdot 10^{-3}$ 。当  $\Delta n'/\Delta n = -0.25$ ,  $b/a = 2.0$  时, 可求出  $\Delta n = 7.7 \cdot 10^{-3}$ 。利用 [12] 式和图 7、图 8 中的曲线可以发现, 当  $\lambda = 1.55\mu\text{m}$  时,  $N_{\Delta V}(d^2(\text{VB})/dV^2)$  必须等于  $10 \cdot 10^{-3}$ ; 当  $\lambda = 1.7\mu\text{m}$  时, 必须等于  $16 \cdot 10^{-3}$ , 才能得到下述结果, 使总的色散为零 ( $d\tau/d\lambda = 0$ ):

$$\frac{\Delta n'}{\Delta n} = -0.50, \frac{b}{a} = 1.5$$

$$\Delta n + \Delta n' = 6.3 \cdot 10^{-3}$$

$$\left\{ \begin{array}{l} \lambda = 1.55 \mu m \rightarrow V \frac{d^2 (VB)}{d V^2} = 1.6, \quad V = 1.8 \\ \lambda = 1.7 \mu m \rightarrow V \frac{d^2 (VB)}{d V^2} = 2.5, \quad V = 1.65 \end{array} \right.$$

$$\frac{\Delta n'}{\Delta n} = -0.25, \quad \frac{b}{a} = 2$$

$$\Delta n + \Delta n' = 5.8 \cdot 10^{-3}$$

$$\left\{ \begin{array}{l} \lambda = 1.55 \mu m \rightarrow V \frac{d^2 (VB)}{d V^2} = 1.7, \quad V = 1.55 \\ \lambda = 1.7 \mu m \rightarrow V \frac{d^2 (VB)}{d V^2} = 2.8, \quad V = 1.3 \end{array} \right.$$

在给定波长下，这些光纤的总衰减是非常类似的，因为它们与等效的突变型单包层光纤相当（在相同的波长下， $V_{eq}$  和  $W_{eq}$  是一样的）。从第二组数据（当  $b/a = 2$  时）也许可以看出，散射损耗更小，因为纤芯中的掺杂量比单包层光纤少。图 9 表示上述三种结构以及它们的色散性能（它们的衰减非常接近）。

这一特例告诉我们：为了获得  $1.3$  和  $1.7 \mu m$  之间的低损耗无色散光纤，用双包层光纤很可能实现。图 9 上部的曲线告诉我们 W 型光纤的情况如何。我们未考虑掺杂量对材料色散的影响，因为同样的折射率分布可能有不同的解决办法（纯二氧化硅、掺锗或氟以及掺磷的二氧化硅）。在所有情况下，掺杂量对色散的影响均小于  $2 \text{ ps/nm/km}$ （波长在  $1.2$  与  $1.9 \mu m$  之间）。截面上的缺陷对色散的影响我们也未予考虑，例如，纤芯倾斜对波导色散只有很小的影响。最后，图 9 中的色散曲线在几个  $\text{ps/nm/km}$  中是正确的，其正确程度取决于精确的掺杂浓度以及实际的折射率分布。